

```
Quit[];
```

- El lagrangiano, los impulsos generalizados y las velocidades escritas en términos de los impulsos:

```
L[θ_, θp_, ψp_, φp_] :=
  
$$\frac{I3}{2} (\psi p + \phi p \text{Cos}[\theta])^2 + \frac{I1}{2} (\theta p^2 + \phi p^2 \text{Sin}[\theta]^2) -$$

  mgl Cos[θ];
sol = Collect[
  Solve[{
    pθ == D[L[θ, θp, ψp, φp], θp],
    pψ == D[L[θ, θp, ψp, φp], ψp],
    pφ == D[L[θ, θp, ψp, φp], φp]
  },
  {θp, ψp, φp}]
, {I1, I3}, Simplify]
```

Uso  $\theta p$ ,  $\phi p$  y  $\psi p$  para denotar  $\dot{\theta}$ ,  $\dot{\phi}$ ,  $\dot{\psi}$ . Los impulsos generalizados con  $p\theta$ , etc.

- El hamiltoniano, construido como  $\sum \dot{q}_i p_i - L$

```
Collect[θp pθ + ψp pψ + φp pφ - L[θ, θp, ψp, φp] /.
  sol[[1]], {pθ, I1, I3}, TrigFactor]
Collect[%, {pθ, I1, I3}, Simplify]
```

```
H[θ_, pθ_, pψ_, pφ_] :=
  
$$\frac{p\theta^2}{2 I1} + \frac{p\psi^2}{2 I3} + \frac{(p\phi - p\psi \text{Cos}[\theta])^2 \text{Csc}[\theta]^2}{2 I1} + mgl \text{Cos}[\theta];$$

```

- Podemos multiplicar el hamiltoniano por una constante sin afectar las ecuaciones de movimiento. Lo vamos a multiplicar por I1.

A la constante  $mgl I1$  la llamamos  $\alpha$ , y a la relación  $I_1 / I_3$  la llamamos  $\beta$ .

```
Hbis[θ_, pθ_, pψ_, pφ_, α_, β_] :=
  
$$\frac{p\theta^2}{2} + \beta \frac{p\psi^2}{2} + \alpha \text{Cos}[\theta] + \frac{(p\phi - p\psi \text{Cos}[\theta])^2 \text{Csc}[\theta]^2}{2};$$

```

- Las coordenadas  $\psi$  y  $\phi$  con cíclicas. Ignorando la constante

aditiva  $\frac{\beta p_\psi^2}{2}$ , podemos entonces definir un hamiltoniano efectivo para  $\theta$  y  $p_\theta$ , que depende de un único parámetro,  $\alpha$ , y de los valores de las constantes de movimiento  $p_\psi$  y  $p_\phi$ .

$$\text{H}\theta[\theta_, p\theta_, p\psi_, p\phi_, \alpha_] := \frac{p\theta^2}{2} + \frac{(p\phi - p\psi \text{Cos}[\theta])^2 \text{Csc}[\theta]^2}{2} + \alpha \text{Cos}[\theta];$$

- Veamos el caso particular en que  $p_\psi = p_\phi = p$ .

```
Collect[Hθ[θ, pθ, p, p, α], p, Simplify]
```

```
TrigReduce[Tan[θ/2]^2]
```

$$\text{H}\theta 1[\theta_, p\theta_, p_, \alpha_] := \frac{p\theta^2}{2} + \alpha \text{Cos}[\theta] + \frac{1}{2} p^2 \frac{1 - \text{Cos}[\theta]}{1 + \text{Cos}[\theta]}$$

- Es un sistema conservativo, de modo que el punto en el espacio de fases  $\theta - p_\theta$  se mueve a lo largo de curvas de  $\text{H}\theta 1$  constante.

Dividamos por la constante  $p$  y redefinamos las coordenadas en el espacio de fases como  $\theta$  y  $P = p_\theta / p$ . Hay que graficar las curvas de nivel de la función

$$h[\theta_, P_, A_] := \frac{P^2}{2} + A \text{Cos}[\theta] + \frac{1}{2} \frac{1 - \text{Cos}[\theta]}{1 + \text{Cos}[\theta]};$$

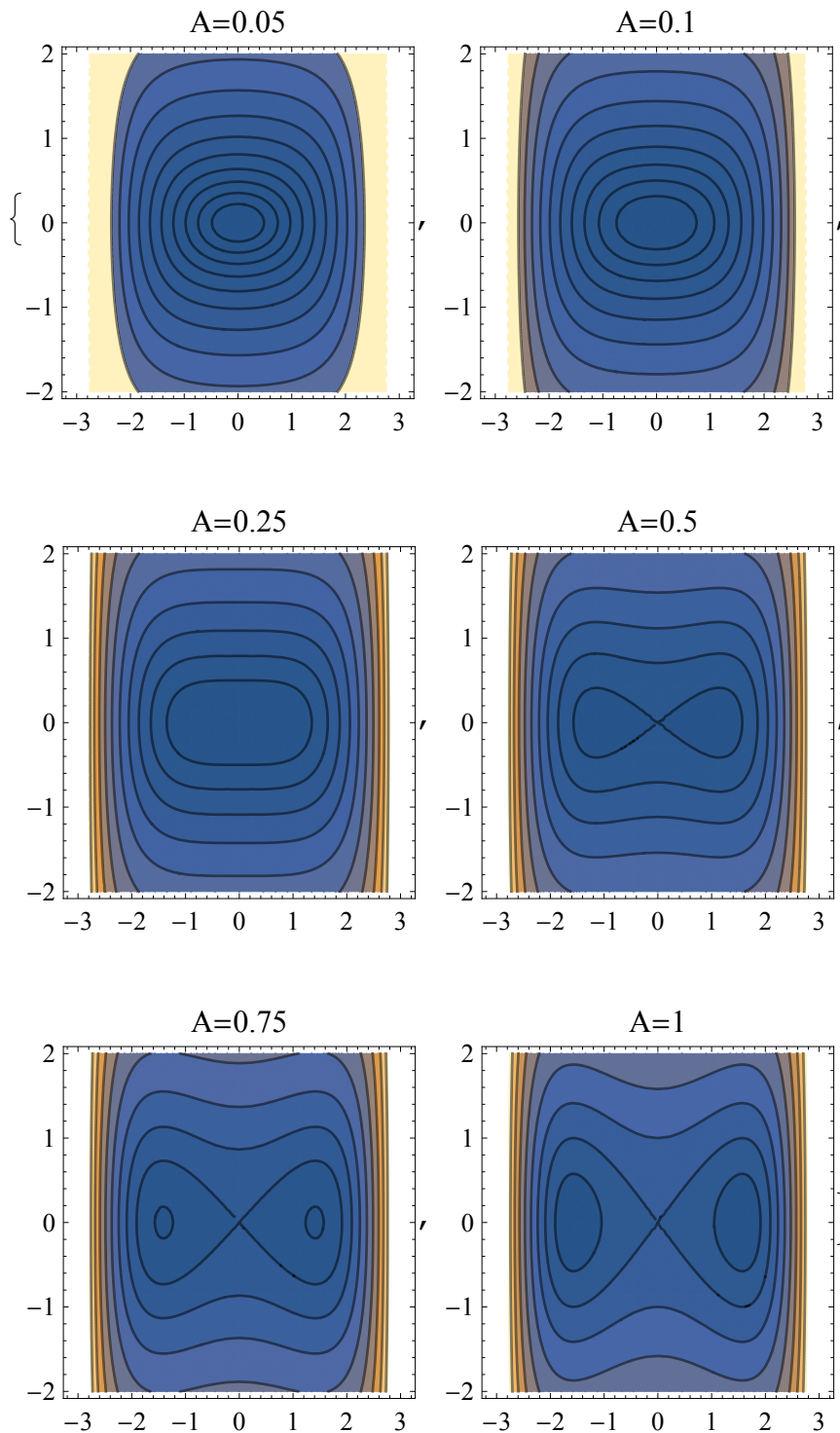
- donde la constante  $A = \alpha / p = mgl l_1 / p^2$  mide la importancia relativa de la gravedad respecto del efecto estabilizador del espín.

Será útil definir el potencial efectivo

$$\text{Vef}[\theta_, A_] := A \text{Cos}[\theta] + \frac{1}{2} \frac{1 - \text{Cos}[\theta]}{1 + \text{Cos}[\theta]};$$

■ Analicemos las curvas de nivel para algunos valores de  $A$ :

```
ContourPlot[h[ $\theta$ ,  $P$ , #], { $\theta$ ,  $-\pi$ ,  $\pi$ }, { $P$ ,  $-2$ ,  $2$ },
  Contours  $\rightarrow$  Table[#  $\times$  1.5n, {n,  $-1$ ,  $10$ }],
  PlotLabel  $\rightarrow$  StringJoin["A=", ToString[#]],
  ImageSize  $\rightarrow$  150] & /@ {0.05, 0.1, 0.25, 0.5, 0.75, 1}
```



■ Las curvas de nivel son en esencia el gráfico del potencial

efectivo restringido a los tramos del eje  $\theta$  en donde es mayor que cero.

En efecto: la curva de nivel correspondiente al valor  $h = \epsilon$  está dada por

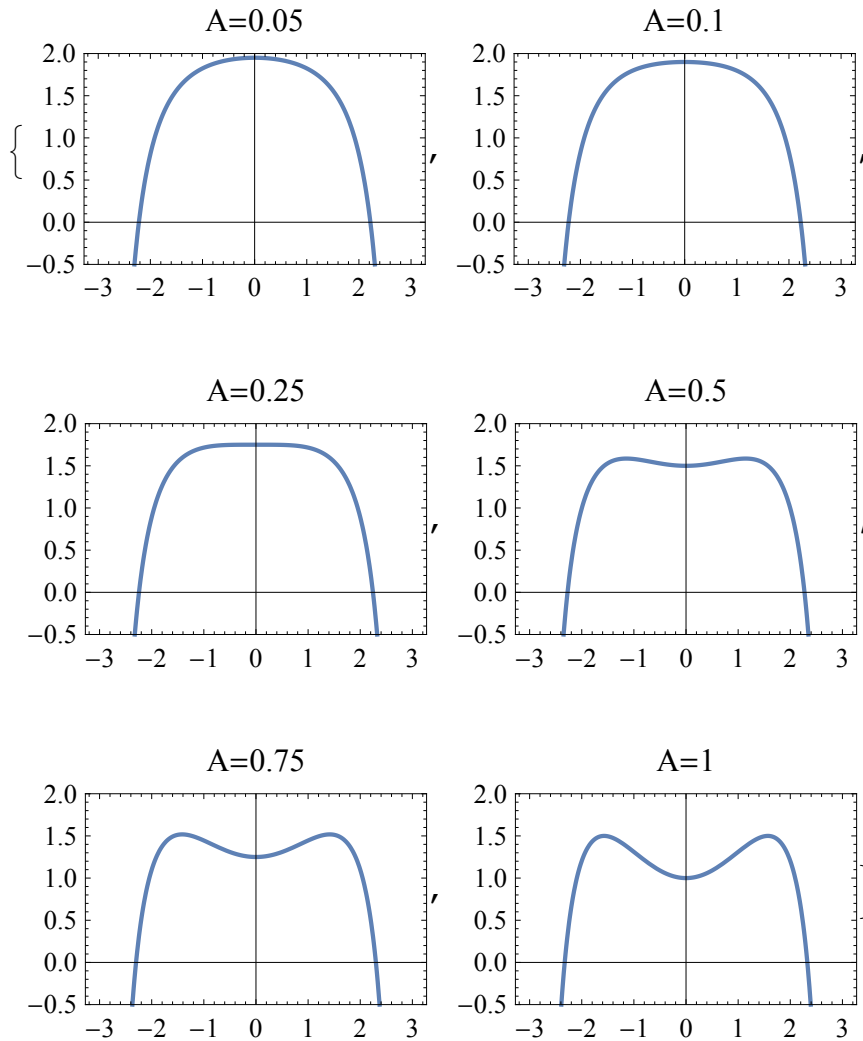
$$P = \pm 2 \sqrt{\epsilon - \left( A \cos[\theta] + \frac{1}{2} \frac{1 - \cos[\theta]}{1 + \cos[\theta]} \right)}.$$

Los cambios cualitativos al aumentar  $A$  están ligados a un cambio cualitativo en la forma del potencial efectivo. Veámoslo graficando

$$\epsilon - V_{\text{ef}}[\theta, A]$$

para los mismos valores de  $A$  que usamos antes, tomando algún valor particular de  $\epsilon$ , lo que no afecta a la forma de la curva.

```
Plot[2 - Vef[θ, #], {θ, -π, π},
  PlotRange → {-0.5, 2},
  PlotLabel → StringJoin["A=", ToString[#]],
  ImageSize → 150, Frame → True] & /@
{0.05, 0.1, 0.25, 0.5, 0.75, 1}
```



- Las curvas de nivel en el espacio de fases no son otra cosa que  $\pm$  la raíz cuadrada de estas funciones.

El punto crítico ocurre cuando  $\theta = 0$  deja de ser un mínimo de  $V_{\text{ef}}$  para transformarse de un máximo. Para  $A$  mayores que este valor crítico,  $V_{\text{ef}}$  tiene un máximo en  $\theta = 0$  y dos mínimos, simétricos respecto de  $\theta = 0$ . Los mínimos aparecen en  $\theta = 0$  y se mueven hacia  $\pm\pi$  a medida que aumenta  $A$ , lo que tiene sentido, porque aumentar  $A$  equivale a aumentar  $g$ .

Veámoslo. Para calcular la derivada del  $V_{\text{ef}}$  respecto de  $\theta$ , definimos  $x = \text{Cos}[\theta]$ , derivamos respecto de  $x$  y, siguiendo la regla de la cadena, luego multiplicamos por  $-\sqrt{1-x^2}$ .

$$\text{Simplify}\left[\text{Solve}\left[D\left[Ax + \frac{1}{2} \frac{1-x}{1+x}, x\right] \times -\sqrt{1-x^2} == 0, x\right]\right]$$

- Aquí  $x$  es el  $\text{Cos}[\theta]$ , de modo que la solución  $\text{Cos}[\theta] = -1 - 1/\sqrt{A}$

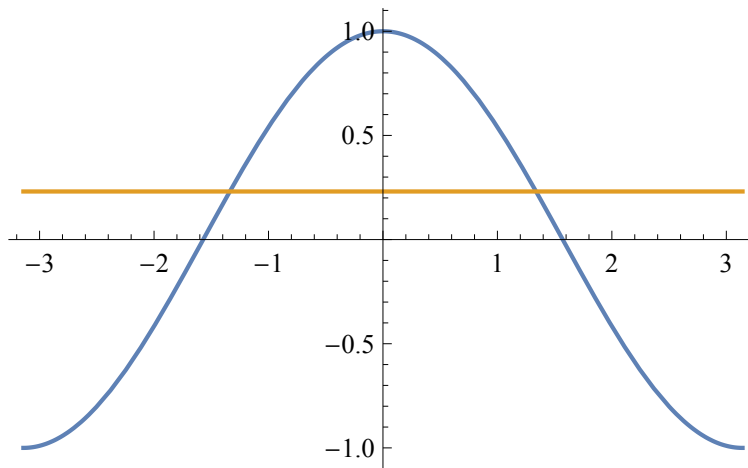
nunca corresponde a un ángulo real, puesto que es menor que  $-1$ . La solución  $\text{Cos}[\theta] = -1 + 1/\sqrt{A}$  es realizable si

$$A > 1/4.$$

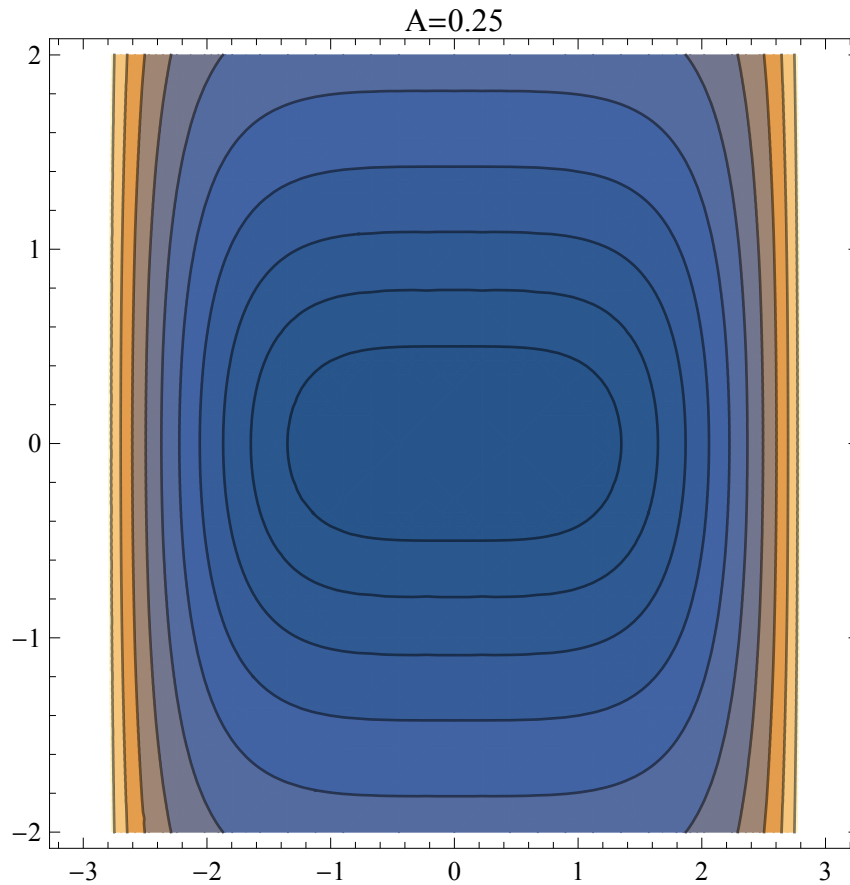
En tal caso, para  $\text{Cos}[\theta] = -1 + 1/\sqrt{A}$  existen dos ángulos posibles, simétricos respecto del cero, como es fácil convencerse a través de la siguiente figura:

$$\text{Apr} = 0.66;$$

$$\text{Plot}\left[\left\{\text{Cos}[x], -1 + \frac{1}{\sqrt{\text{Apr}}}\right\}, \{x, -\pi, \pi\}\right]$$



- **Resumiendo:**  $V_{\text{ef}}$  tiene un sólo extremo para  $\theta$  real si  $A < 1/2$ . Es decir, para valores suficientemente pequeños de  $g$  el único punto de equilibrio es  $\theta = 0$ . Vemos por la forma del potencial que en ese caso todas las órbitas en  $\theta$  son acotadas y giran alrededor del origen.



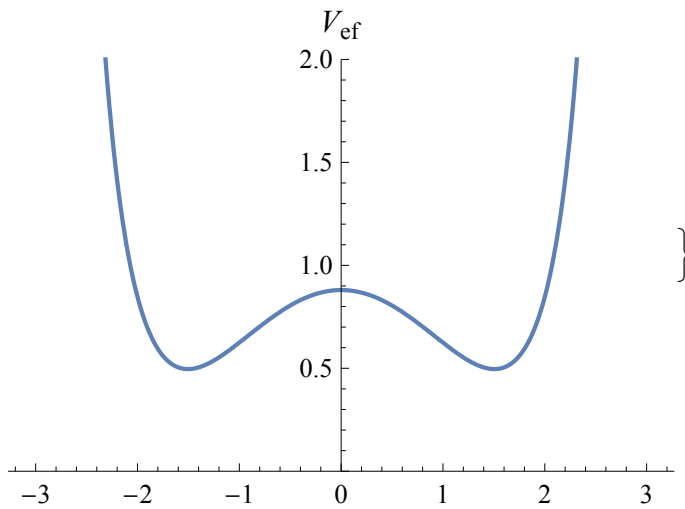
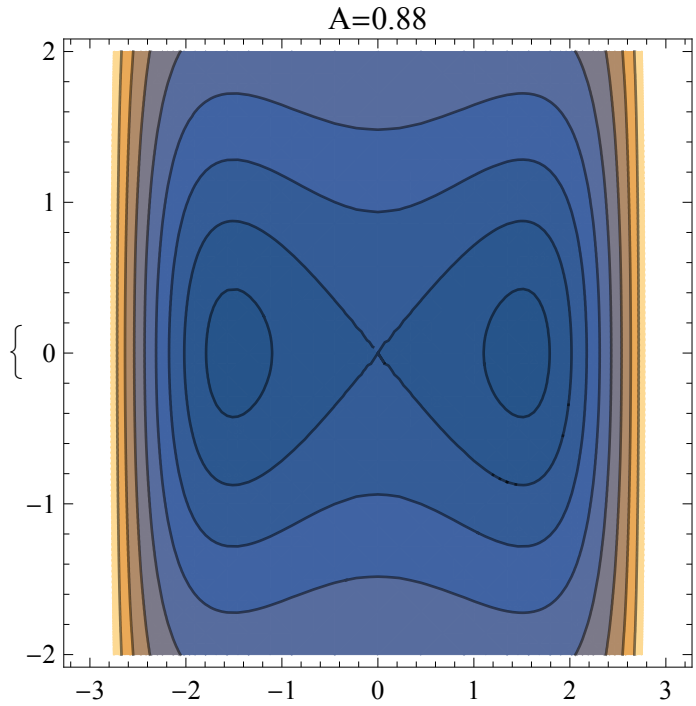
- Si  $A > 1/4$ , entonces aparecen los otros dos extremos. La forma del potencial indica que hay dos clases de órbitas. Para energías bajas,  $\theta$  se mueve alrededor de uno de los mínimos, mientras que para energías mayores que  $V_{\text{ef}}[0, A]$ , el ángulo  $\theta$  se mueve en una órbita que rodea al mismo tiempo al origen y a los dos mínimos del potencial.

Eso se ve claramente en el retrato de fases y en el gráfico del potencial efectivo:

```
Apr = .88;
{
  ContourPlot[h[ $\theta$ , P, Apr], { $\theta$ , - $\pi$ ,  $\pi$ }, {P, -2, 2},
    Contours  $\rightarrow$  Table[Apr  $\times$  1.5n, {n, -1, 10}],
    PlotLabel  $\rightarrow$  StringJoin["A=", ToString[Apr]],
    ImageSize  $\rightarrow$  250],

  Plot[Vef[ $\theta$ , Apr], { $\theta$ , - $\pi$ ,  $\pi$ },
    PlotRange  $\rightarrow$  {0, 2},
    ImageSize  $\rightarrow$  250,
    PlotLabel  $\rightarrow$  "Vef"]
}
```





- La curva separatriz entre los dos tipos de órbitas es la que pasa por  $\theta = 0, P = 0$ , y por lo tanto corresponde a  $\epsilon = A$ . Su ecuación es

$$P = \pm 2 \sqrt{(1 - \text{Cos}[\theta]) \left( A - \frac{1/2}{1 + \text{Cos}[\theta]} \right)}.$$

La intersección con el eje  $P = 0$  se produce cuando

$$\text{Cos}[\theta] = \frac{1}{2A} - 1 \rightarrow \theta_{\pm} = \pm \text{ArcCos} \left[ \frac{1}{2A} - 1 \right].$$

Esto será relevante cuando demos condiciones iniciales. Si inicialmente fijamos  $P = 0$ , entonces para  $\theta$  comprendido entre los dos valores  $\theta_{\pm}$  tendremos órbitas alrededor de uno de los puntos de equilibrio estables. En cambio, si  $|\theta|$  es mayor que  $\theta_{+}$  tendremos órbitas que encerrarán los tres puntos de equilibrio. (Ver la figura anterior.)

`Apr = 1.5;`

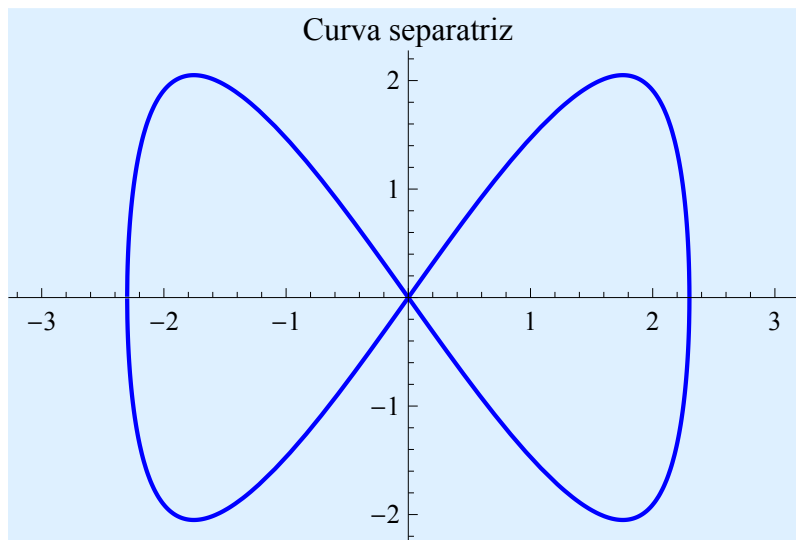
$$\text{Plot}\left[\left\{2\sqrt{(1 - \text{Cos}[\theta])\left(\text{Apr} - \frac{1/2}{1 + \text{Cos}[\theta]}\right)},\right.\right.$$

$$\left.\left.-2\sqrt{(1 - \text{Cos}[\theta])\left(\text{Apr} - \frac{1/2}{1 + \text{Cos}[\theta]}\right)}\right\}, \{\theta, -\pi, \pi\},\right.$$

`PlotStyle → Blue,`

`Background → LightBlue,`

`PlotLabel → "Curva separatriz", ImageSize → 300]`



## El movimiento de la peonza en el espacio: integración numérica de las ecuaciones

- Partimos del hamiltoniano original

$$H[\theta, p_\theta, p_\psi, p_\phi] := \frac{p_\theta^2}{2 I_1} + \frac{p_\psi^2}{2 I_3} + \frac{(p_\phi - p_\psi \cos[\theta])^2}{2 I_1 \sin[\theta]^2} + mgl \cos[\theta];$$

- Ya sabemos que  $p_\psi$  y  $p_\phi$  son constantes. Las ecuaciones de movimiento relevantes son las que dan las velocidades en términos de los impulsos

$$\left\{ \begin{array}{l} \theta_p \rightarrow \frac{p_\theta}{I_1}, \quad \psi_p \rightarrow \frac{p_\psi}{I_3} - \frac{(p_\phi - p_\psi \cos[\theta]) \cos[\theta]}{I_1 \sin[\theta]^2}, \\ \phi_p \rightarrow \frac{(p_\phi - p_\psi \cos[\theta])}{I_1 \sin[\theta]^2} \end{array} \right\}$$

y la que da  $\dot{p}_\theta$ , que se obtiene derivando H respecto de  $\theta$  y multiplicando  $\times -1$ .

$$\text{Simplify}[-D[H[\theta, p_\theta, p_\psi, p_\phi], \theta]]$$

- Es decir

$$\left\{ \begin{array}{l} p_\theta p \rightarrow - \frac{p_\psi (p_\phi - p_\psi \cos[\theta])}{I_1 \sin[\theta]} + \\ \frac{(p_\phi - p_\psi \cos[\theta])^2 \cos[\theta]}{I_1 \sin[\theta]^2} + mgl \sin[\theta] \end{array} \right\}$$

- Caso  $p_\phi = p_\psi = p$ .

- Para fijar el problema usaremos  $I_3 = 2 I_1$ , como si la peonza fuera un disco atravesado por un eje sin masa. Dado  $p$ , podemos definir una velocidad angular característica del problema,

$$\omega = p/I_3.$$

Esto nos permite introducir una variable temporal adimensional

$$\tau = \omega t.$$

Una variación de  $\tau$  en una unidad, corresponde, a grandes rasgos, a una vuelta de la peonza sobre su eje.

Volviendo a las ecs. de movimiento, con  $p_\psi = p_\phi = p$ ,  $I_3 = 2 I_1$ , y cambiando a la variable  $\tau$  (de modo que ahora  $\theta_p$  es  $d\theta/d\tau$ , etc.), queda:

$$\begin{aligned} & \text{TrigReduce} [ \\ & \quad \text{Simplify} [ \\ & \quad \left\{ \theta_p \rightarrow \frac{I_3}{p} \left( \frac{p\theta}{I_1} \right), \psi_p \rightarrow \left( \frac{I_3}{p} \right) \left( \frac{p\psi}{I_3} - \frac{(p\phi - p\psi \cos[\theta]) \cos[\theta]}{I_1 \sin[\theta]^2} \right), \right. \\ & \quad \left. \phi_p \rightarrow \left( \frac{I_3}{p} \right) \left( \frac{(p\phi - p\psi \cos[\theta])}{I_1 \sin[\theta]^2} \right) \right\} /. p\phi \rightarrow p\psi /. \\ & \quad I_1 \rightarrow \frac{I_3}{2} /. p\psi \rightarrow p ] ] \end{aligned}$$

$$\begin{aligned} & \text{Collect} [ \\ & \quad \left( \frac{I_3}{p} \right) \left( \frac{p\psi (-p\phi + p\psi \cos[\theta]) \csc[\theta]}{I_1} + \right. \\ & \quad \left. \frac{(p\phi - p\psi \cos[\theta])^2 \cot[\theta] \csc[\theta]^2}{I_1} + mg l \sin[\theta] \right) /. \\ & \quad p\phi \rightarrow p\psi /. I_1 \rightarrow \frac{I_3}{2} /. p\psi \rightarrow p, mg l, \text{FullSimplify} ] \end{aligned}$$

■ Es decir

$$\begin{aligned} & \left\{ \theta_p \rightarrow 2 \frac{p\theta}{p}, \psi_p \rightarrow \frac{1 - \cos[\theta]}{1 + \cos[\theta]}, \phi_p \rightarrow \frac{2}{1 + \cos[\theta]}, \right. \\ & \quad \left. p\theta_p \rightarrow -8 p \csc[\theta]^3 \sin\left[\frac{\theta}{2}\right]^4 + \frac{I_3 mg l \sin[\theta]}{p} \right\} \end{aligned}$$

Ya casi estamos. Así como adimensionalizamos el tiempo, podemos adimensionalizar los impulsos, dividiéndolos por el impulso característico  $p$ .

Entonces, ahora escribiremos  $\frac{p\theta}{p} \rightarrow P$  y  $\frac{p\theta_p}{p} \rightarrow Pp$ . Al dividir por  $p$

en el término asociado al potencial gravitatorio aparece la constante

$$I_3 mgl / p^2$$

que, según nuestras primeras definiciones, es igual a  $2A$ , el parámetro que mide la importancia relativa de la gravedad respecto del espín.

Finalmente, las ecuaciones de movimiento adimensionalizadas son:

$$\left\{ \begin{aligned} \theta_p &\rightarrow 2P, \quad \psi_p \rightarrow \frac{1 - \cos[\theta]}{1 + \cos[\theta]}, \quad \phi_p \rightarrow \frac{2}{1 + \cos[\theta]}, \\ P_p &\rightarrow -8 \operatorname{Csc}[\theta]^3 \operatorname{Sin}\left[\frac{\theta}{2}\right]^4 + 2A \operatorname{Sin}[\theta] \end{aligned} \right\}$$

Introduciendo algunas simplificaciones para las funciones trigonométricas resultan:

$$\text{FullSimplify}\left[\left\{\theta_p \rightarrow 2P, \psi_p \rightarrow \frac{1 - \cos[\theta]}{1 + \cos[\theta]}, \phi_p \rightarrow \frac{2}{1 + \cos[\theta]}, P_p \rightarrow -8 \operatorname{Csc}[\theta]^3 \operatorname{Sin}\left[\frac{\theta}{2}\right]^4 + 2A \operatorname{Sin}[\theta]\right\}\right]$$

- El verdadero problema aquí se reduce a integrar la ecuación para  $P$  y  $\theta$ . Vamos a hacerlo numéricamente.

Ya tenemos las ecs. diferenciales. Las condiciones iniciales para  $p_\phi = p_\psi = p$  están contenidas en el parámetro  $A$ .

Como  $\phi$  y  $\psi$  son cíclicas, podemos fijar sus valores iniciales arbitrariamente. Uno estaría inclinado a usar  $\phi = \psi = 0$ , pero ese punto corresponde a un punto singular de los ángulos de Euler, de modo que conviene elegir  $\phi$  igual a cualquier otro valor.

Las condiciones iniciales para  $\theta$  y  $p_\theta$  deben considerarse con mayor cuidado. Al analizar los retratos de fase vimos que  $\theta$  puede hacer dos cosas bien diferentes: rodear el origen o rodear (si los hay) alguno de los puntos de equilibrio que aparecen cuando  $A$  es mayor que  $1/4$ . En cualquier caso, algo

es seguro, para todas las trayectorias hay puntos de retorno, en los cuales  $p_\theta = 0$ . De manera que podemos tomar ésa como condición inicial para  $p_\theta$ .

Si estamos en el caso  $A < 1/4$ , para distintos valores iniciales de  $\theta$  no obtendremos resultados cualitativamente diferentes. Siempre son órbitas alrededor del origen.

Si estamos en el caso  $A > 1/4$ , la forma de las órbitas dependerá de si el valor inicial de  $\theta$  está dentro o fuera de la curva separatriz.

$|\theta| < \theta_+ = \text{ArcCos}\left[\frac{1}{2A} - 1\right] \rightarrow$  dentro de la  
separatriz

---

■ **Probamos primero como marcha el asunto integrando un caso particular:**

(Ustedes cambien el valor de  $A$  y el de  $\theta_0$ . Prueben con  $A$  mayor o menor que  $1/4$ , y –en el primer caso– con  $\theta_0$  mayor o menor que  $\theta_{mas}$ )

```

Apr = Rationalize[0.33];
(*uso Rationalize para generar un número 'exacto'*)

(* Quiero tener a la vista el ángulo que separa
   las condiciones iniciales que para A >
   1/4 caen de un lado o del otro de la separatriz*)
 $\theta_{mas} = \text{If}\left[\text{Apr} > 1/4, \text{ArcCos}\left[\frac{1}{2 \cdot \text{Apr}} - 1\right], \pi\right];$ 
Print[Style[StringJoin[" $\theta_+ =$ ", ToString[ $\theta_{mas}$ ]],
  Red, 16]]

 $\phi_0 = 1;$ 
 $\psi_0 = 0;$ 
 $\theta_0 = \text{Rationalize}[1];$ 









Dsol = NDSolve[
  {
     $\theta'[t] == 2 P[t],$ 
     $\psi'[t] == \text{Tan}\left[\frac{\theta[t]}{2}\right]^2,$ 
     $\phi'[t] == \text{Sec}\left[\frac{\theta[t]}{2}\right]^2,$ 
     $P'[t] == -8 \text{Csc}[\theta[t]]^3 \text{Sin}\left[\frac{\theta[t]}{2}\right]^4 + 2 \text{Apr} \text{Sin}[\theta[t]],$ 
    P[0] == 0,
     $\phi[0] == \phi_0,$ 
     $\psi[0] == \psi_0,$ 
     $\theta[0] == \theta_0$ 
  },
  { $\theta, P, \psi, \phi$ }, {t, 0, Tmax = 50}]

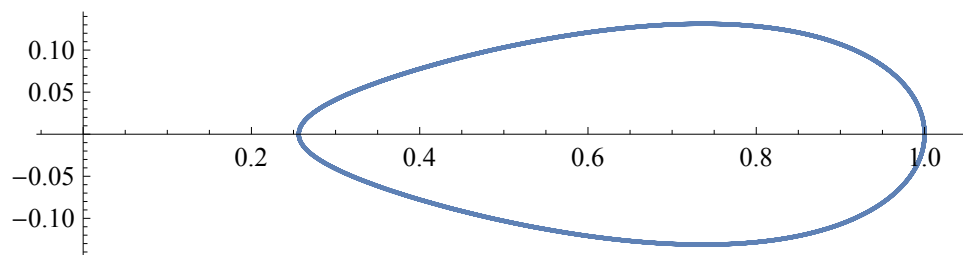
theta = Dsol[[1]][[1]][[2]];
ptheta = Dsol[[1]][[2]][[2]];
psi = Dsol[[1]][[3]][[2]];
phi = Dsol[[1]][[4]][[2]];

ParametricPlot[{theta[t], ptheta[t]}, {t, 0, Tmax},
  PlotRange -> All, AxesOrigin -> {0, 0}]

 $\theta_+ = 1.02961$ 

```

$\theta \rightarrow$	InterpolatingFunction			Domain: {{0., 50.}}	Output: scalar	, , , }
P	$\rightarrow$ InterpolatingFunction			Domain: {{0., 50.}}	Output: scalar	
$\psi$	$\rightarrow$ InterpolatingFunction			Domain: {{0., 50.}}	Output: scalar	
$\phi$	$\rightarrow$ InterpolatingFunction			Domain: {{0., 50.}}	Output: scalar	



**Print**[" $\theta$ += ",  $\theta$ mas]

$\theta$ += 1.02961



- Para un análisis más sistemático, definimos una función que integra las ecuaciones de movimiento dados los valores de  $A$ ,  $\theta_0$  y el tiempo máximo.

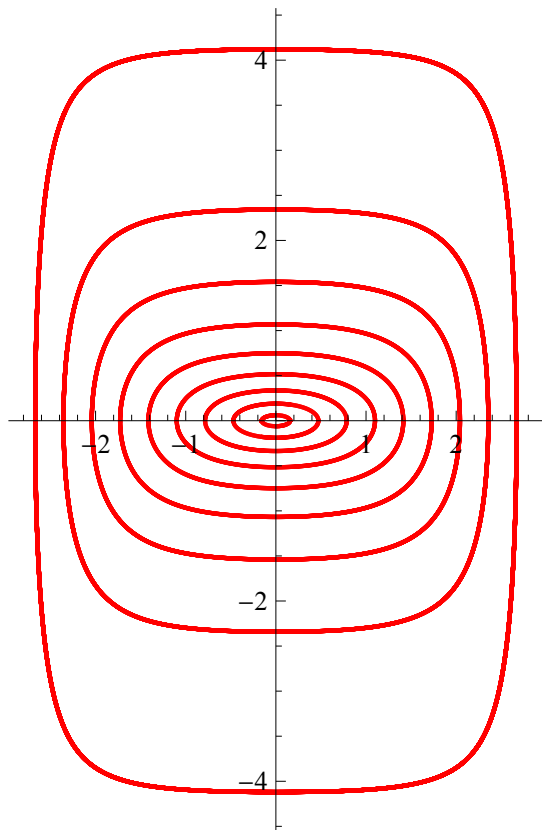
El intervalo de la solución va entre  $t = 0$  y  $t = t_{\max}$ , a menos que el *Mathematica* diga lo contrario.

```
In[1]:= solucion[A_,  $\theta_0$ _, tmax_] :=
Module[{ $\theta$ ,  $\phi$ ,  $\psi$ , P,  $\phi_0 = 1$ ,  $\psi_0 = 0$ , t, Dsol},
  Dsol = NDSolve[
    {
       $\theta'$ [t] == 2 P[t],
       $\psi'$ [t] == Tan[ $\frac{\theta[t]}{2}$ ]2,
       $\phi'$ [t] == Sec[ $\frac{\theta[t]}{2}$ ]2,
      P'[t] == -8 Csc[ $\theta[t]$ ]3 Sin[ $\frac{\theta[t]}{2}$ ]4 + 2 A Sin[ $\theta[t]$ ],
      P[0] == 0,
       $\phi$ [0] ==  $\phi_0$ ,
       $\psi$ [0] ==  $\psi_0$ ,
       $\theta$ [0] ==  $\theta_0$ },
    { $\theta$ , P,  $\psi$ ,  $\phi$ }, {t, 0, tmax}];
  Dsol[[1]][[All, 2]]
];
```

- Probemos nuestra función con un valor de  $A$  menor que  $1/4$  y valores iniciales de  $\theta$  entre casi  $-\pi$  y casi  $\pi$ , esquivando el cero.

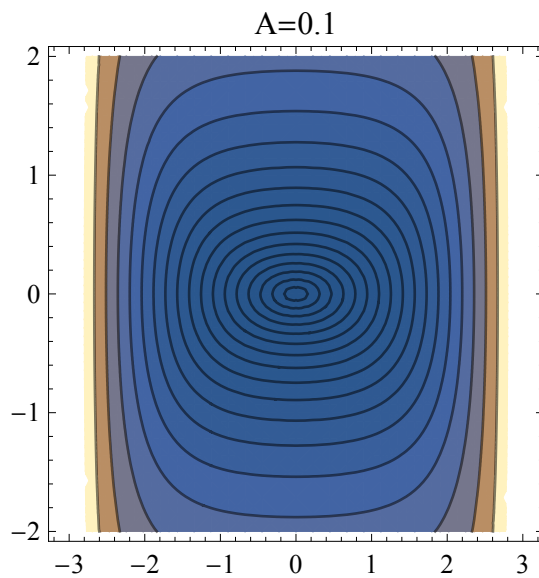
```
Apr = 0.1;
fraccion = Rationalize[0.85];
Monitor[
  tabla1 = Table[solucion[Rationalize[Apr],  $\theta_0$ , 20],
    { $\theta_0$ , -fraccion  $\pi$ , fraccion  $\pi$ ,  $\frac{\pi}{10}$ }]];,  $\theta_0$ ]
```

```
g1 = ParametricPlot[  
  Table[{tabla1[[i]][[1]][t], tabla1[[i]][[2]][t]},  
    {i, 1, Length[tabla1]}], {t, 0, 10},  
  PlotRange -> All, PlotStyle -> Red]
```

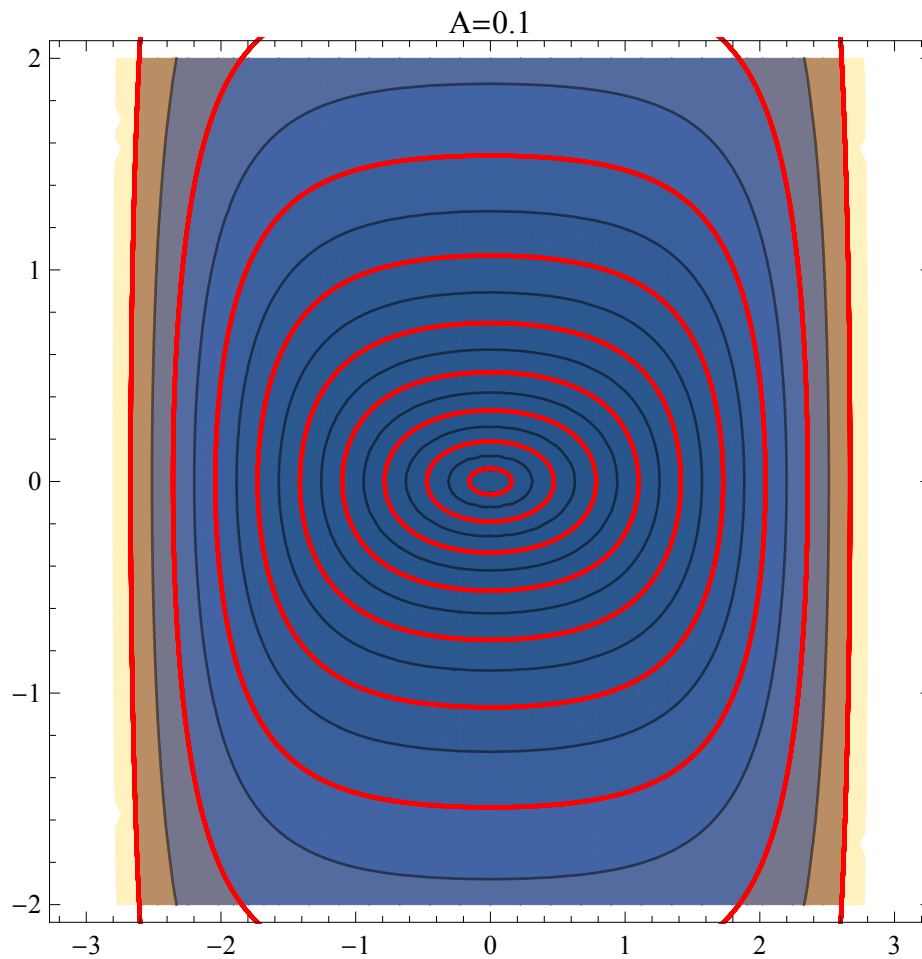


- Hacemos la comparación con los retratos de fase hechos más arriba:

```
glcontour = ContourPlot[h[ $\theta$ , P, Apr], { $\theta$ ,  $-\pi$ ,  $\pi$ },
  {P, -2, 2},
  Contours  $\rightarrow$  Table[h[ $\theta 0$ , 0, Apr],
    { $\theta 0$ , -fraccion  $\pi$ , fraccion  $\pi$ ,  $\frac{\pi}{20}$ }],
  PlotLabel  $\rightarrow$  StringJoin["A=", ToString[Apr]],
  ImageSize  $\rightarrow$  200]
```



```
Show[glcontour, gl, ImageSize -> 400]
```



- Probemos ahora con un valor de  $A$  mayor que  $1/4$  y valores iniciales de  $\theta$  entre casi  $-\pi$  y casi  $\pi$ , esquivando el cero.

```
Apr = 0.88;
```

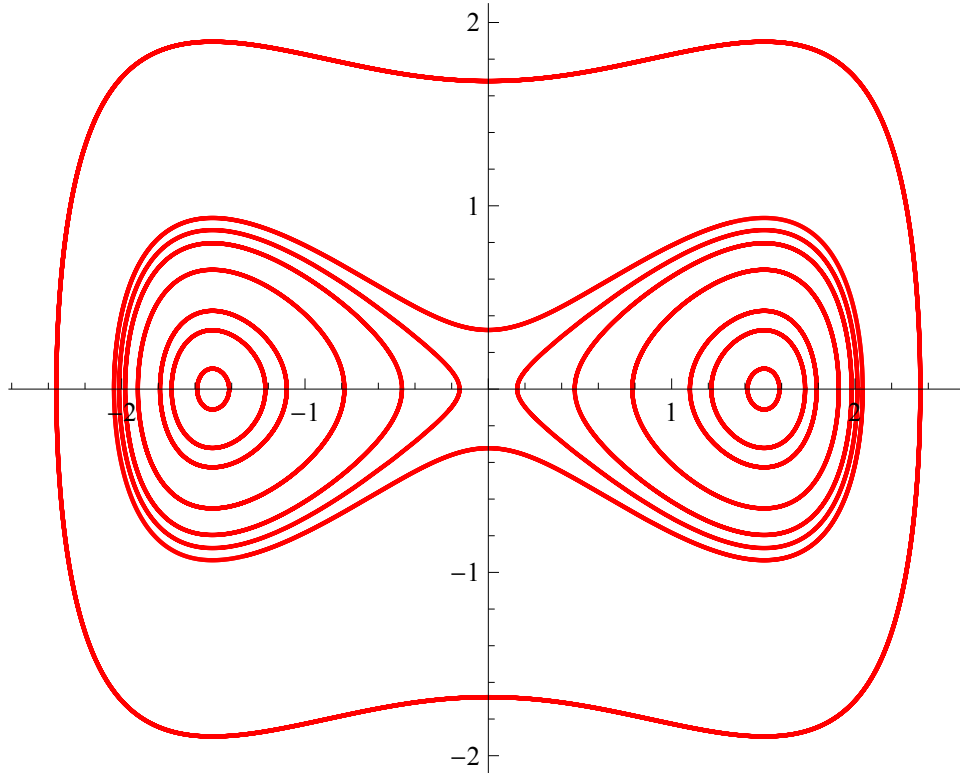
```
fraccion = Rationalize[0.75];
```

```
Monitor[
```

```
  tabla2 = Table[solucion[Rationalize[Apr],  $\theta_0$ , 20],
```

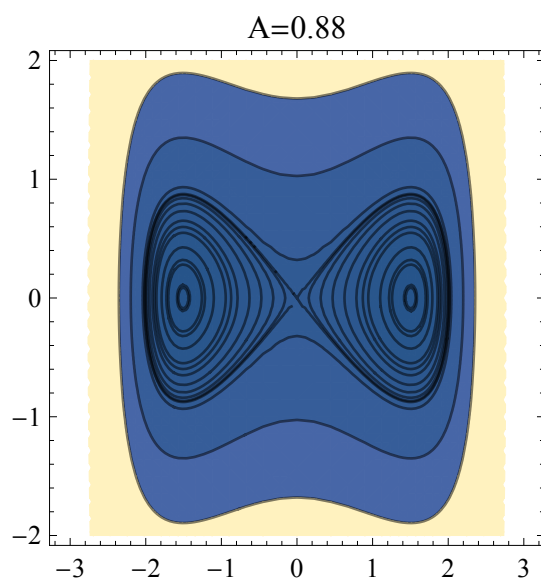
```
    { $\theta_0$ , -fraccion  $\pi$ , fraccion  $\pi$ ,  $\frac{\pi}{10}$ }] ; ,  $\theta_0$ ]
```

```
g2 = ParametricPlot[  
  Table[{tabla2[[i]][[1]][t], tabla2[[i]][[2]][t]},  
    {i, 1, Length[tabla2]}], {t, 0, 10},  
  PlotRange → All, PlotStyle → Red]
```

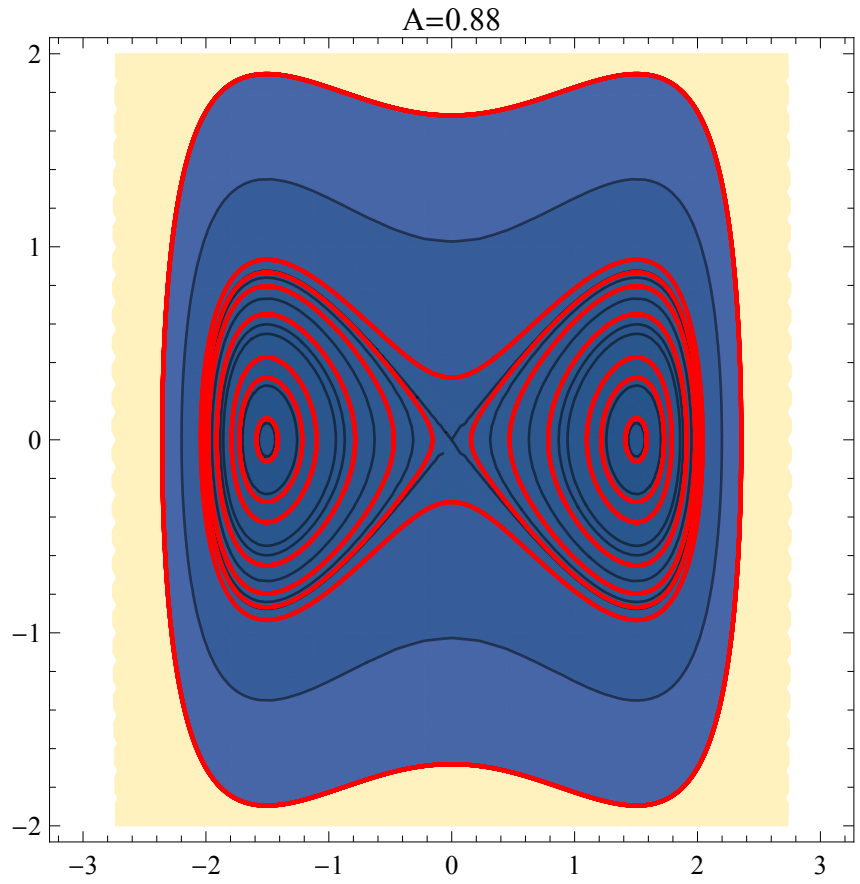


■ La comparación con los retratos de fase hechos más arriba:

```
g2contour = ContourPlot[h[ $\theta$ , P, Apr], { $\theta$ ,  $-\pi$ ,  $\pi$ },
  {P, -2, 2},
  Contours  $\rightarrow$  Table[h[ $\theta_0$ , 0, Apr],
    { $\theta_0$ , -fraccion  $\pi$ , fraccion  $\pi$ ,  $\frac{\pi}{20}$ }],
  PlotLabel  $\rightarrow$  StringJoin["A=", ToString[Apr]],
  ImageSize  $\rightarrow$  200]
```



```
Show[g2contour, g2, ImageSize -> 400]
```



Bárbaro!

## El movimiento en el espacio 3D:

```

In[2]:= $HistoryLength = 0;
antialias[g_, n_:1] :=
  ImageResize[Rasterize[g, "Image",
    ImageResolution -> n 72, Background -> None],
    Scaled[1/n]];

h[theta_, P_, A_] :=  $\frac{P^2}{2} + A \cos[\theta] + \frac{1}{2} \frac{1 - \cos[\theta]}{1 + \cos[\theta]}$ ;

solucion[A_, theta0_, tmax_] :=
  Module[{theta, phi, psi, P, phi0 = 1, psi0 = 0, t, Dsol},
    Dsol = NDSolve[
      {
        theta'[t] == 2 P[t],
        psi'[t] == Tan[ $\frac{\theta[t]}{2}$ ]2,
        phi'[t] == Sec[ $\frac{\theta[t]}{2}$ ]2,
        P'[t] == -8 Csc[theta[t]]3 Sin[ $\frac{\theta[t]}{2}$ ]4 + 2 A Sin[theta[t]],
        P[0] == 0,
        phi[0] == phi0,
        psi[0] == psi0,
        theta[0] == theta0},
      {theta, P, psi, phi}, {t, 0, tmax}];
    Dsol[[1]][[All, 2]]
  ];

```



■ Primero veamos cómo graficar la peonza para valores arbitrarios de los ángulos de Euler:

```

In[6]:= ez = {0, 0, 1};
eρ[φ_] := {Cos[φ], Sin[φ], 0};
eφ[φ_] := {-Sin[φ], Cos[φ], 0};

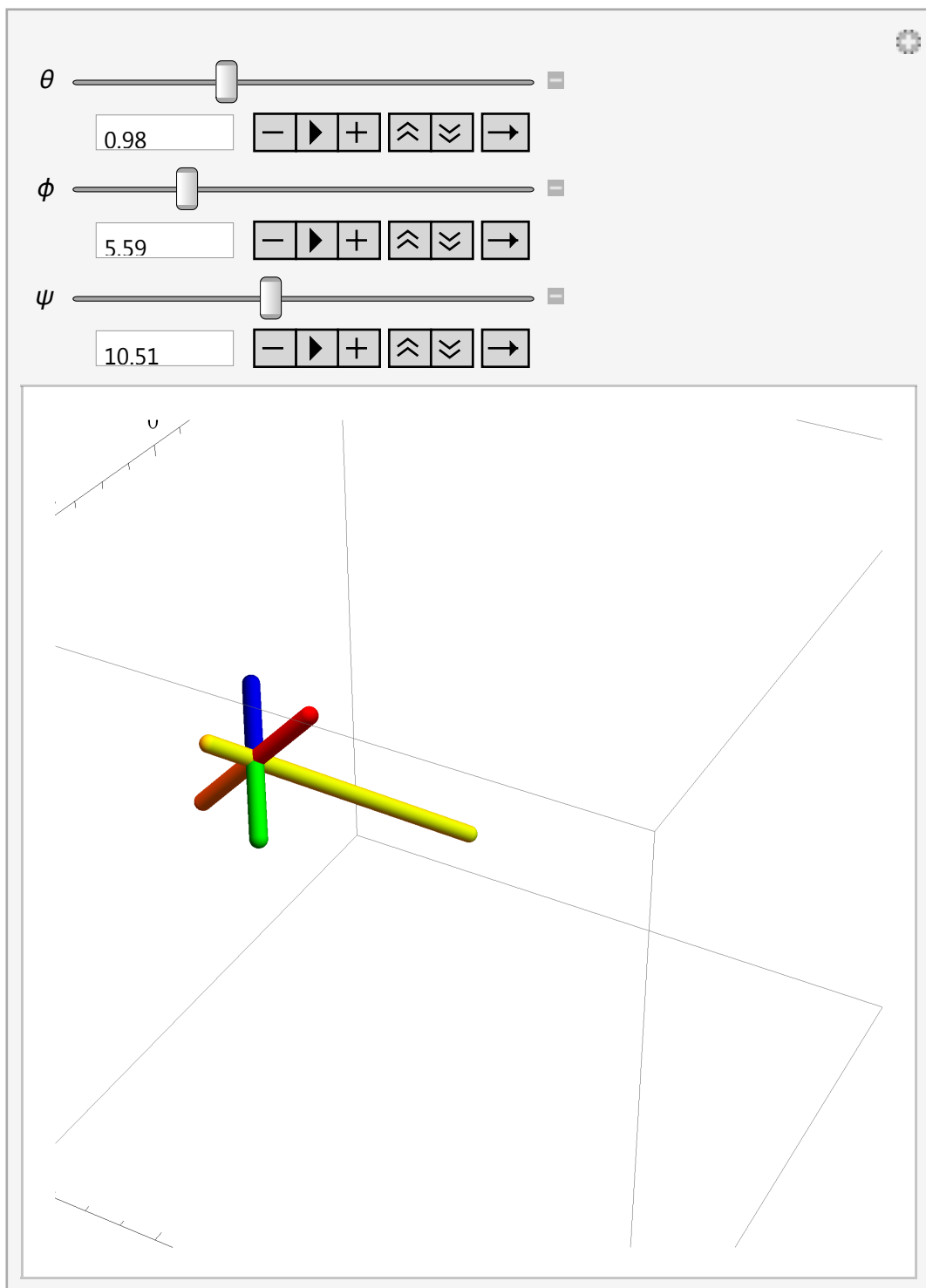
e1[θ_, φ_, ψ_] :=
  eρ[φ] Cos[ψ] + (Cos[θ] eφ[φ] + Sin[θ] ez) Sin[ψ];
e2[θ_, φ_, ψ_] :=
  -eρ[φ] Sin[ψ] + (Cos[θ] eφ[φ] + Sin[θ] ez) Cos[ψ];
e3[θ_, φ_] := Cos[θ] ez - Sin[θ] eφ[φ];

peonza[θ_, φ_, ψ_, L_] := Graphics3D[{
  {Yellow, Tube[{{0, 0, 0}, 1.2 L e3[θ, φ] }, 0.1]},
  {Red,
   Tube[{{-e1[θ, φ, ψ] + L e3[θ, φ], +L e3[θ, φ] }},
    0.1]},
  {Orange,
   Tube[{{L e3[θ, φ], +L e3[θ, φ] + e1[θ, φ, ψ] }},
    0.1]},
  {Blue,
   Tube[{{-e2[θ, φ, ψ] + L e3[θ, φ], +L e3[θ, φ] }},
    0.1]},
  {Green,
   Tube[{{L e3[θ, φ], +L e3[θ, φ] + e2[θ, φ, ψ] }},
    0.1]}
  }];

In[13]:= Lpr = 3.;
Manipulate[
  Show[
    peonza[θ, φ, ψ, Lpr],
    PlotRange → 4 {{-1, 1}, {-1, 1}, {-1, 1}},
    BoxRatios → {1, 1, 1}, Axes → True, ViewAngle → 20°,
    {θ, 0, π, 0.01, Appearance → "Open"},
    {φ, 0, 8 π, 0.01, Appearance → "Open"},
    {ψ, 0, 8 π, 0.01, Appearance → "Open"}]

```

Out[14]=



- Ahora usamos las soluciones de las ecuaciones de movimiento:  $\{\theta, P, \psi, \phi\}$ .

```
In[19]:= Lpr = 3.;  
Apr = 0.4;
```

```
(* Si A > 1/4,  
más-menos este valor son los ángulos de equilibrio *)
```

$$\text{ArcCos}\left[-1. + \frac{1}{\sqrt{\text{Apr}}}\right]$$

```
(* Si A > 1/4,  
más-menos esta cantidad marca el valor del ángulo  
inicial que separa las órbitas dentro y fuera  
de la separatriz *)
```

$$\text{ArcCos}\left[\frac{1}{2 \text{Apr}} - 1.\right]$$

```
Out[21]= 0.950669
```

```
Out[22]= 1.31812
```

- Calculamos la solución numérica de las ecs. de movimiento y graficamos algunas cosas antes de ir al gráfico 3D. Primero, la curva en el espacio de fases  $\theta - p_\theta$ , para estar seguros de que estamos en el caso que queremos, y luego la trayectoria 3D que sigue el extremo de la peonza, para tener una idea general del movimiento.

```

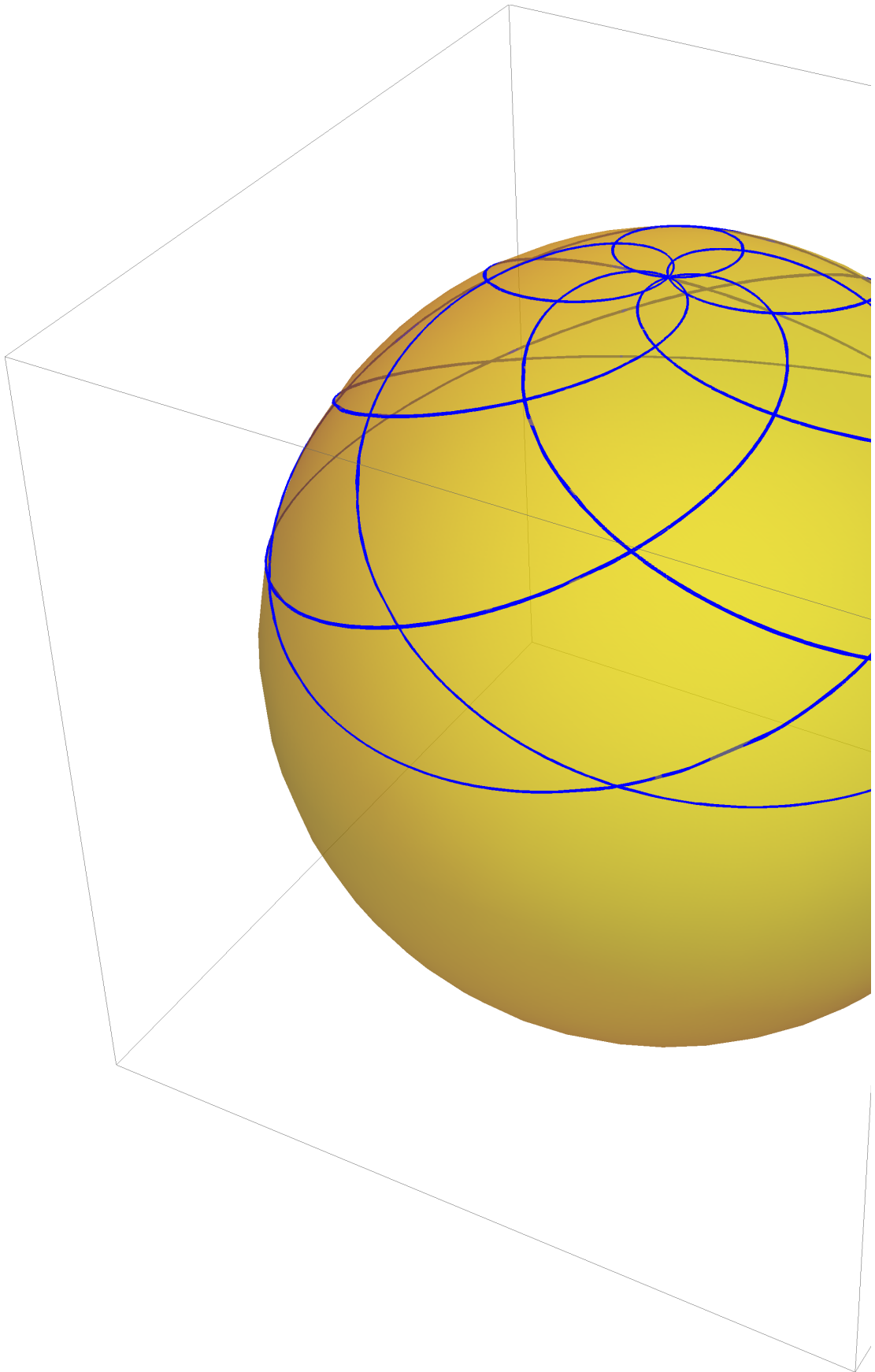
In[23]:=  $\theta_0 = 1.350099$ ; (* Experimenten con este valor. Aquí
      está elegido a ojo para tener una trayectoria
      casi cerrada *)
solpr = solucion[Rationalize[Apr], Rationalize[ $\theta_0$ ],
      tmax = 100];

orbita $\theta$  = ParametricPlot[
      {solpr[[1]][t], solpr[[2]][t]}, {t, 0, 69.8611},
      PlotStyle  $\rightarrow$  Red];

Show[
  Graphics3D[{Yellow, Opacity[0.5],
      Sphere[{0, 0, 0}, 1.2 Lpr]}],
  orbita3D = ParametricPlot3D[
      1.2 Lpr e3[solpr[[1]][t], solpr[[4]][t]],
      {t, 0, 100}, PlotStyle  $\rightarrow$  {Blue, Thin},
      PlotPoints  $\rightarrow$  200], ImageSize  $\rightarrow$  600,
  PlotRange  $\rightarrow$  All
]

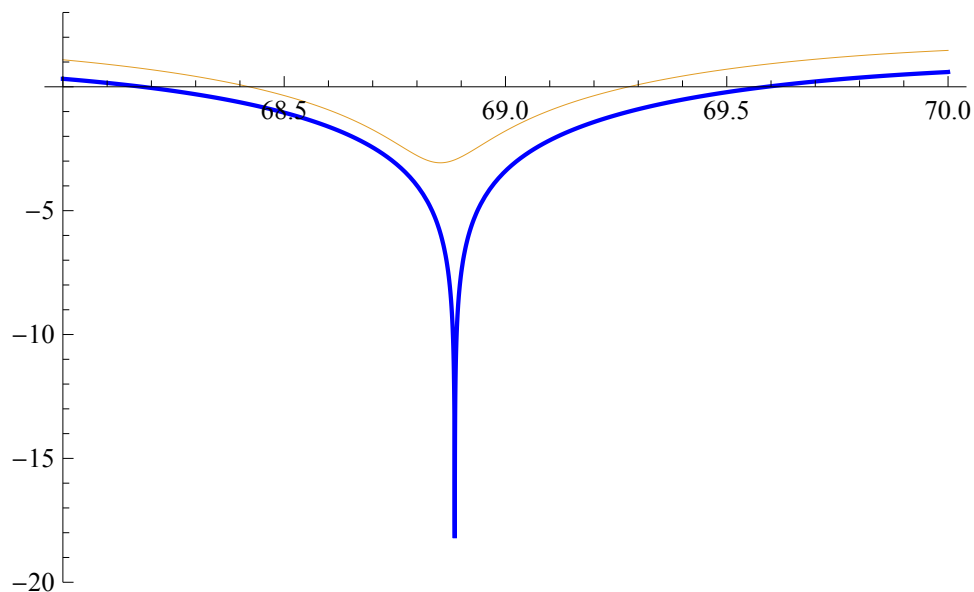
```

Out[26]=



- Cálculos auxiliares para ver dónde más o menos se cierra la trayectoria (lo que no siempre pasa)

```
Plot[
  {Log[
    Norm[e3[solpr[[1]][t], solpr[[4]][t]] -
      e3[solpr[[1]][0], solpr[[4]][0]]^2],
    Log[
    Norm[e3[solpr[[1]][t], solpr[[4]][t]] +
      e1[solpr[[1]][t], solpr[[4]][t], solpr[[3]][t]] -
      (e3[solpr[[1]][0], solpr[[4]][0]] +
        e1[solpr[[1]][0], solpr[[4]][0],
          solpr[[3]][0]])^2}], {t, 68, 70},
  PlotRange -> {-20, 3}, PlotStyle -> {Blue, Thin},
  PlotPoints -> 200]
```



```
FindRoot[
  Norm[e3[solpr[[1]][t], solpr[[4]][t]] -
    e3[solpr[[1]][0], solpr[[4]][0]]^2 == 0,
  {t, 68.87, 68.89}, MaxIterations -> 50 000]
```

```
{t -> 68.8854}
```

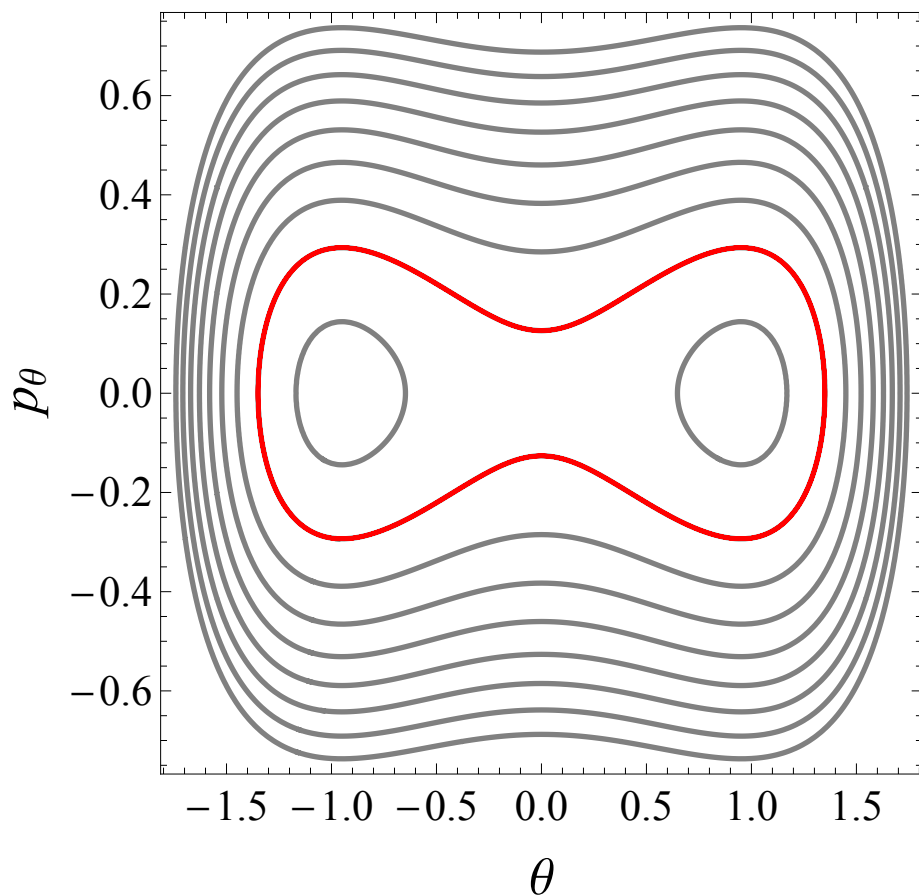
- El retrato de fases  $\theta - p_\theta$  correspondiente al valor de  $A$  elegido, superpuesto con la órbita:

```

In[46]:= retrato = ContourPlot[h[ $\theta$ , P, Apr], { $\theta$ , -3, 3},
      {P, -1, 1}, ContourShading → None, PlotPoints → 100,
      ContourStyle → Thick,
      Contours → Join[{h0 = h[ $\theta$ 0, 0, Apr]},
      Table[ $\frac{i}{25}$  h0, {i, 1, 40, 2}]],
      FrameTicksStyle → Directive[Black, 16],
      FrameLabel → {Style[" $\theta$ ", 20], Style[" $p_\theta$ ", 20]},
      ImageSize → 350, PlotRange → All, Background → White,
      ImageMargins → {{25, 0}, {0, 0}}];
Show[retrato, orbita $\theta$ , PlotRange → All]

```

Out[47]=



## La cosa en sí:

- **Auxiliar: las estelas de los extremos transversales de la peonza (ejecutar cada vez que cambian las condiciones iniciales)**

```
In[27]:=  $\theta\phi\psi$ tabla =
  Table[{solpr[[1]][ $\tau$ ], solpr[[4]][ $\tau$ ], solpr[[3]][ $\tau$ ]},
  { $\tau$ , 0., tmax, 0.01}];
e1tabla = e1[#[[1]], #[[2]], #[[3]]] & /@  $\theta\phi\psi$ tabla;
e2tabla = e2[#[[1]], #[[2]], #[[3]]] & /@  $\theta\phi\psi$ tabla;
e3tabla = e3[#[[1]], #[[2]]] & /@  $\theta\phi\psi$ tabla;
estela11 = Lpr e3tabla + e1tabla;
estela12 = Lpr e3tabla - e1tabla;
estela21 = Lpr e3tabla + e2tabla;
estela22 = Lpr e3tabla - e2tabla;
```

- **Finalmente, el movimiento 3D:**

```
In[62]:= Lpr = 3.;
 $\Delta$  = 3;
 $\theta\Delta$  = solpr[[1]][ $\Delta$ ];
 $\psi\Delta$  = solpr[[3]][ $\Delta$ ];
 $\phi\Delta$  = solpr[[4]][ $\Delta$ ];
peonza $\Delta$  = peonza[ $\theta\Delta$ ,  $\phi\Delta$ ,  $\psi\Delta$ , Lpr];
Manipulate[
   $\theta$  = solpr[[1]][t];
   $\psi$  = solpr[[3]][t];
   $\phi$  = solpr[[4]][t];
  p $\theta$  = solpr[[2]][t];
  imin = Max[1, (piso = Floor[ $\frac{t}{0.01}$ ]) - coma];
  imax = piso;
  ipaso = 4;
  psize = Table[ $\frac{4. (i - imin)}{imax - imin + 0.001}$ ,
    {i, imin, imax, ipaso}];
  j = 0;

  {Show[
    Graphics3D[
```



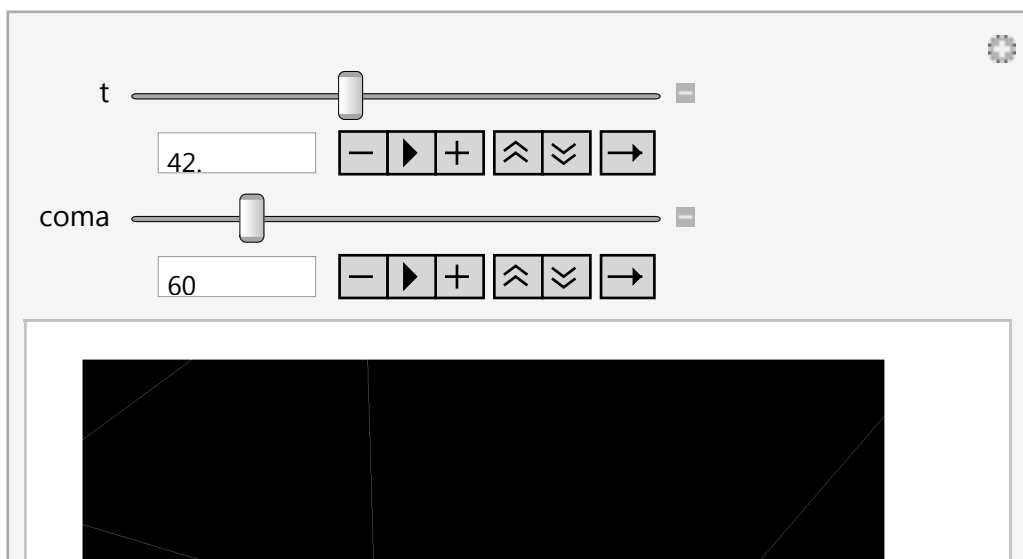
```

Table[
  ++j;
  {AbsolutePointSize[psize[[j]]],
   {Orange, Point[estela11[[i]]]},
   {Red, Point[estela12[[i]]]},
   {Green, Point[estela21[[i]]]},
   {Blue, Point[estela22[[i]]]}
  , {i, imin, imax, ipaso}]

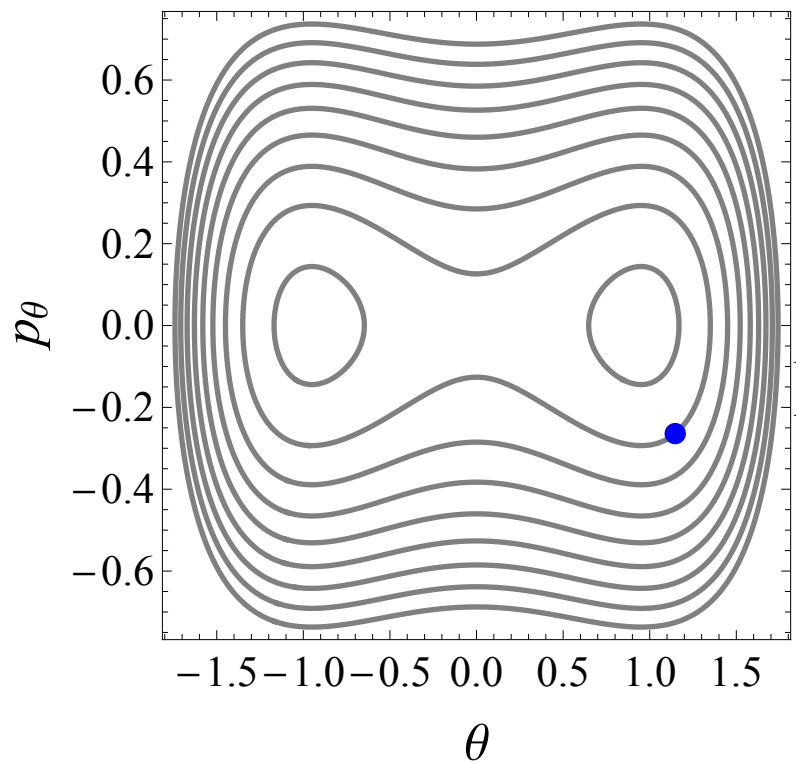
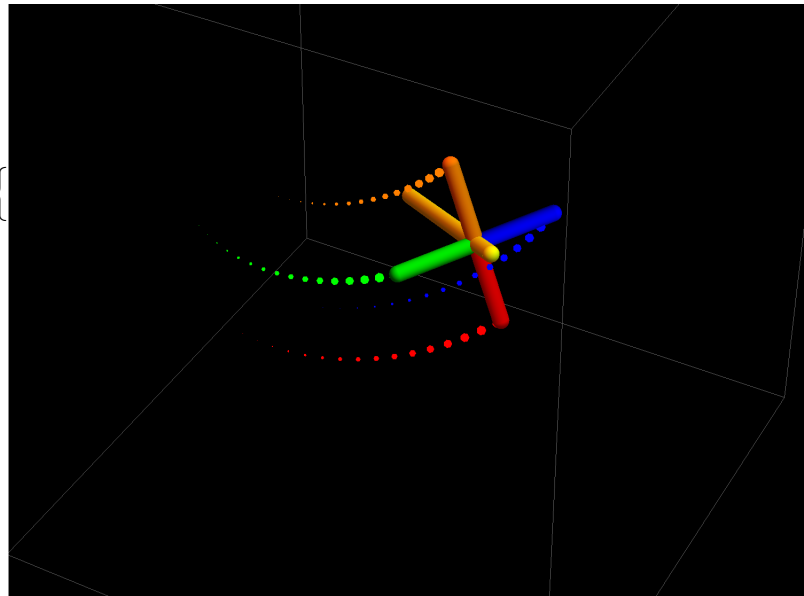
],
peonza[ $\theta$ ,  $\phi$ ,  $\psi$ , Lpr],
PlotRange  $\rightarrow$  4 {{-1, 1}, {-1, 1}, {-1.2, 1.2}},
Axes  $\rightarrow$  False,
ViewAngle  $\rightarrow$  18  $^\circ$ ,
Background  $\rightarrow$  Black,
ImageSize  $\rightarrow$  300
],
Show[retrato,
  Graphics[{Blue, AbsolutePointSize[8],
    Point[{ $\theta$ , p $\theta$ ]}]}, ImageSize  $\rightarrow$  300]
},

{{t,  $\Delta$ },  $\Delta$ , tmax, 0.05, Appearance  $\rightarrow$  "Open",
  AnimationRate  $\rightarrow$  1},
{{coma, 60}, 0, 300, 10, Appearance  $\rightarrow$  "Open"},
TrackedSymbols  $\rightarrow$  {t, coma},
ControlPlacement  $\rightarrow$  Above
]

```



Out[68]=




---

**Para exportar las imágenes:**

```

t = 3;
θ = solpr[[1]][t];
ψ = solpr[[3]][t];

```

```

ϕ = solpr[[4]][t];
pθ = solpr[[2]][t];
imin = Max[1, (piso = Floor[ $\frac{t}{0.01}$ ]) - 200];
imax = piso;
ipaso = 1;
psize = Table[ $\frac{6. (i - imin)}{imax - imin + 0.001}$ ,
  {i, imin, imax, ipaso}];
j = 0;

im1 = antialias[Show[
  Graphics3D[
    Table[
      ++j;
      {Opacity[ $\left(\frac{j/2}{imax-imin}$ )]},
      AbsolutePointSize[psize[[j]]],
      {Orange, Point[estela11[[i]]]},
      {Red, Point[estela12[[i]]]},
      {Green, Point[estela21[[i]]]},
      {Blue, Point[estela22[[i]]]}
    ], {i, imin, imax, ipaso}
  ],
  ],
  peonza[θ, ϕ, ψ, Lpr],
  PlotRange → 4 {{-1, 1}, {-1, 1}, {-1.2, 1.2}},
  Axes → False,
  ViewAngle → 18 °,
  Background → Black,
  ImageSize → 500], 2];

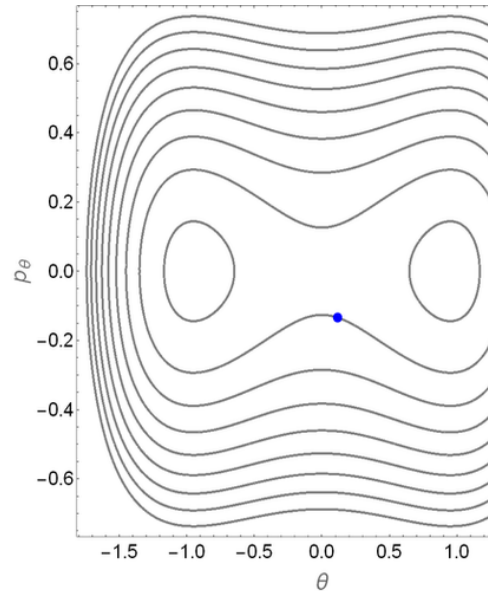
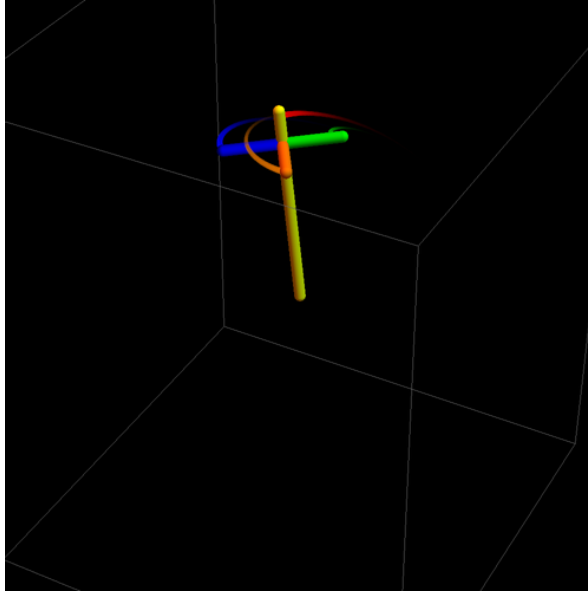
dim1 = ImageDimensions[im1];

im2 = ImageResize[

```

```
antialias[Show[retrato,
Graphics[{Blue, AbsolutePointSize[8],
Point[{ $\theta$ , p $\theta$ ]}]}], ImageSize → 500], 2], dim1];
```

```
imtemp = ImageAssemble[{{im1, im2}}]
```



```
dir = "C:\\users\\juan zanella\\desktop\\peonza\\";
```

```
nframe = 0;
```

```
Monitor[Table[
  ++nframe;
   $\theta$  = solpr[[1]][t];
   $\psi$  = solpr[[3]][t];
   $\phi$  = solpr[[4]][t];
  p $\theta$  = solpr[[2]][t];
  imin = Max[1, (piso = Floor[ $\frac{t}{0.01}$ ]) - 200];
  imax = piso;
  ipaso = 1;
  psize = Table[ $\frac{6. (i - imin)}{imax - imin + 0.001}$ ,
    {i, imin, imax, ipaso}];
  j = 0;

  im1 = antialias[Show[
```

```

Graphics3D[
  Table[
    ++j;
    {Opacity[ $\left(\frac{j/2}{\frac{\text{imax}-\text{imin}}{\text{ipaso}}}\right)^2$ ],
     AbsolutePointSize[psize[[j]],
     {Orange, Point[estela11[[i]]]},
     {Red, Point[estela12[[i]]]},
     {Green, Point[estela21[[i]]]},
     {Blue, Point[estela22[[i]]]}
    , {i, imin, imax, ipaso}]
  ],
  peonza[ $\theta$ ,  $\phi$ ,  $\psi$ , Lpr],
  PlotRange → 4 {{-1, 1}, {-1, 1}, {-1.2, 1.2}},
  Axes → False,
  ViewAngle → 18°,
  Background → Black,
  ImageSize → 500], 2];

dim1 = ImageDimensions[im1];

im2 = ImageResize[
  antialias[Show[retrato,
    Graphics[{Blue, AbsolutePointSize[8],
      Point[{ $\theta$ , p $\theta$ ]}]}], ImageSize → 500], 2], dim1];

imtemp = SetAlphaChannel[
  ImageAssemble[{{im1, im2}}]];

Export[StringJoin[dir, "frame_peonza_4_1_",
  If[nframe < 10, "000",
  If[nframe < 100, "00", "0"]], ToString[nframe],
  ".png"], imtemp, "PNG"],

{t,  $\Delta$ ,  $\Delta + 68.85$ , 0.05}

```

```
]i, {t, imtemp}]
```